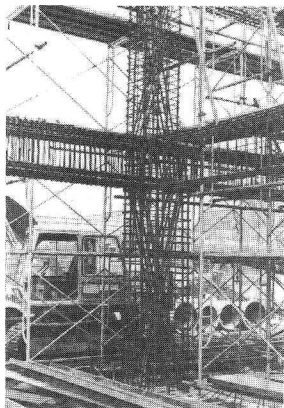


## (15) 鋼筋コンクリート柱のX形配筋

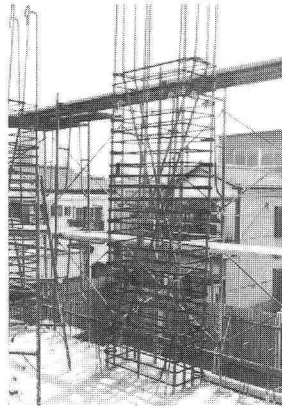
○ 南 宏一\* 若林 實\*\*

### 1 序

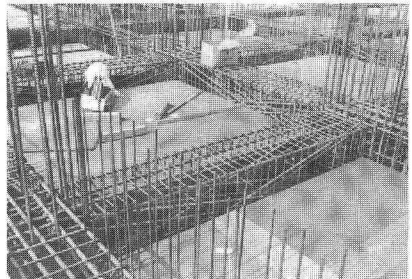
1968年の十勝沖地震、1978年の宮城県沖地震および1983年の秋田県沖地震で、大破以上に被害を生じた鉄筋コンクリート(RC柱)造の太半の建物に共通する被害は、短柱のせん断破壊である。したがって、RC造建物の耐震設計で最も困難となる点は、二つ短柱のせん断破壊による脆さであり、RC構造の合理的な耐震設計法を確立するためには、合理的かつ経済的にせん断破壊を防止できる構法を用意する方が何よりも必要である。RCボリ(斜面境界部)の強度とじん性を確保するためには、主筋を斜めに配筋する(X形配筋という)試みは、1971年Paulay<sup>5</sup>によて提案され実際の建物に適用されてる(1~3)。著者はこの着想にヒントを得て、X形配筋をRC柱に適用することを考え、X形配筋柱の耐震性能に関する基礎的研究を行った(4~8)。本論ではX形配筋柱の強度、じん性、エネルギー消費能力に関する実験結果、せん断強度に関する理論解、実用設計式、実際の建物への応用例等について述べる。



(a)



(b)



(c)

Photo 1 Construction of Reinforced Concrete Structures Containing Diagonally Reinforced Columns and Beams

\* 大阪工業大学建築学科 \*\* 京都大学防災研究所

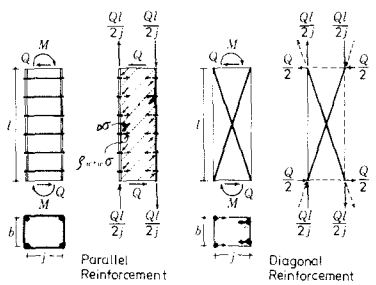


Fig.1 Principal Shear Resistance Mechanism of Diagonally Reinforced Members

生じ、その結果、 $Ql/j$  の付着力が生じる。この付着力はコンクリート部材にせん断力を伝達する。  
改善工法、このせん断力を形成するためには、

図1に示すように、丁度45°- $\theta$ =45°の斜め圧縮応力度  $\sigma_b$  が、帶筋には  $f_w \cdot w_6$  ( $f_w$ : 帯筋比、 $w_6$ : 帯筋の引張応力度) が生じる。柱幅を  $b$  とすると、主筋は降伏する直前の応力、釣合式で

$$Ql/j = \sigma_b \cdot b \cdot l/2 = f_w \cdot w_6 \cdot bl \quad (1)$$

が成立する。この釣合式より、平行配筋の場合にはせん断力を抵抗するためには、帶筋が降伏しない限りは  $w_6 \geq w_6 \cdot f_w$  (帶筋の降伏引張応力度) とし

$$f_w = Q/b \cdot j \cdot w_6 \quad (2)$$

の帶筋量が必要となる。

一方、X形配筋の場合には、圧縮および引張側の主筋が約束したせん断力を抵抗する形でX形主筋の材端部には

$$T = C = \sqrt{(Ql/2j)^2 + (Q/2)^2} \quad (3)$$

の引張力  $T$  および圧縮力  $C$  が生じ、そのうちの力の作用点はX形主筋の配置上から上方に向かって一致する。したがって、X形配筋の場合には、このX形主筋が“曲げ”せん断力を抵抗し、原則的には帶筋は不要である。かつ、コンクリートはせん断力を抵抗する必要はない。主筋の密度を増すほど引張力に対する圧縮力が生じるが、コンクリートとの付着力は不要である。このようにX形主筋は逆対称の曲げせん断に対するX形配筋が適用されることが示された。

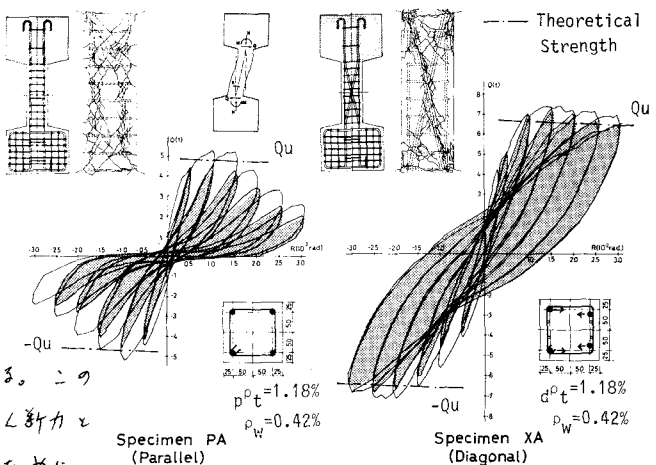


Fig.2 Preliminary Test Results

より、この力学的挙動は鉄骨斜角柱の実験結果とよくなる。

#### 4 X形配筋の改良用いた柱材の耐震性能

Fig.2 は横用の平行配筋を用いた柱(PA)と主筋が全てX形配筋をした柱(XA)(引張応力度  $f_t = 1.18\%$ 、帶筋比  $f_w = 0.42\%$ )は、コンクリートの圧縮強度を20%も一応圧縮力を作用させた。正直にいってせん断力をあたえたときのせん断力  $Q$  と柱高  $R$  の関係、おまけにひび割れ状況を示す。なお、同図には後述のせん断強度、理論強度  $Qu$  が示されている。PAのひび割れはせん断せん断破壊の様相を示すのにに対し、XAはX形主筋によるひび割れが若干生じるが、全体として曲げ引張破壊の様相を示している。複屈曲線は、PAでは最大強度以後の強度低下が大きく逆S字形であるのに対し、XAでは、強度・じん性とも大きく複屈曲線は逆S字形でエネルギー消費能が大きく、同一荷重振幅におけるひび割れによる強度低下もほとんど生じない。このように帶筋を密に配置しておこなうことで、X形配筋柱ではせん断破壊を生じる柱材の耐震性能に満足の欠点があるが、これは改善工法、せん断破壊の防上に付してX形配筋が極めて有効である。つまりばかりでなく、柱材に対してもX形配筋が適用されることが示された。

## 5 X形配筋と平行配筋の併用

2章で述べたように、このX形配筋が拘束率 $\beta$ は柱部材の反曲点がX形主筋の交差部で柱子材の中失部にくる場合である。しかし、実際の建物では柱部材の反曲点は必ずしも材の中失部にくることがない。Fig.3 は示すように平行配筋とX形配筋を併用するのが一般的である。

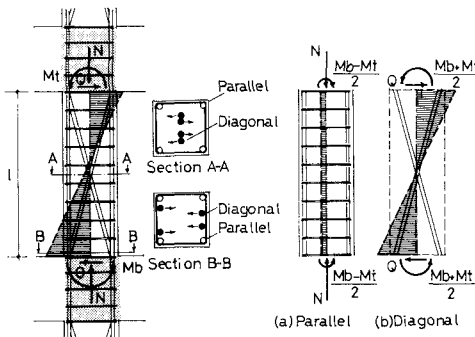


Fig.3 Design of Diagonally Reinforced Columns

また、均等曲げモーメント $(Mb-Mt)/2$ は地盤干支の1/2の零点量の平行配筋が最も強度を高め、残りの逆対称曲げモーメント $(Mb+Mt)/2$ は地盤干支の1/2の零点量のX形配筋を配置すれば最も強度を高め得る。しかし、実際には配筋の割合上ながら、これは平行配筋の割合を多くする方が高い場合が多い。このうちの場合の柱子材せん断破壊性状について検討した例は多く、平行配筋とX形配筋の大小の零点量の比率によって破壊モード、せん断強度、塑形能力、エネルギー消費能が異なることが明らかである。すなはち、 $\beta=0$ のX形配筋では、 $\beta=1$ の平行配筋よりせん断破壊性状はよく評価される。しかし、 $\beta=1$ のX形配筋では、せん断強度、塑形能力、エネルギー消費能が高くなる。また、 $\beta=0$ のX形配筋では、せん断強度が低く、塑形能力が低い。しかし、 $\beta=1$ のX形配筋では、せん断強度が高く、塑形能力が高くなる。

## 6 平行配筋とX形配筋を併用する柱材の耐震性能

6.1 実験計画 Fig.4 は実験計画を示す。図中 $\beta$ はX形主筋量と全引張主筋量との比を表す。

	0	0.36	0.62	1.0
$\beta = \frac{\text{d}T_y}{\text{p}T_y + \text{d}T_y}$				
Parallel only				
Mixed Use of Parallel and Diagonal				
Diagonal only				
Parallel Diagonal	2-D10, 2-D13	2-D13 2-D10	2-D10 2-D13	2-D10, 2-D13
M : Monotonic Loading				Tension Reinforcement Ratio $P_t=71\%$
R : Repeated Loading				Shear Reinforcement Ratio $P_w=0.42\%$
N : 3	M : S03M R : S03R	M : S33M R : S33R	M : S63M R : S63R	Axial Load Ratio $N/bhfc=0.27$
N : 2	M : S02M R : S02R	M : S32M R : S32R	M : S62M R : S62R	SX3M SX3R SX2M SX2R

Fig.4 Variables Chosen for Experiment I

$$\beta = \frac{\text{d}T_y}{T_y} = \frac{\text{d}T_y}{\text{p}T_y + \text{d}T_y} \quad (4)$$

$\text{d}T_y$  : 31張側X形主筋の降伏引張力

$\text{p}T_y$  : 引張側平行主筋の降伏引張力

$T_y$  : 引張側全主筋の降伏引張力

である。また、これは柱長さ $l$ と柱径 $b$ によって決まる。柱断面は $15\text{cm} \times 15\text{cm}^2$ である。コンクリートの圧縮強度は $27\%$ の一定圧縮力を負荷し、単純引張き各振幅 $\gamma$ 回数 $n$ による漸増振幅形の載荷を行った。せん断力主筋たる載荷実験を行った。

6.2 破壊モード Fig.5 は最大強度時のひび割れ状況を示す。柱長さ比の値はかからず、平行配筋のみ( $\beta=0$ )かうX形配筋のみ( $\beta=1$ )は平行干支はいたが、 $\beta=1$ のX形配筋割裂破壊とせん断破壊がうながす破壊モードである。また、 $\beta=1$ の試験結果ではX形主筋の

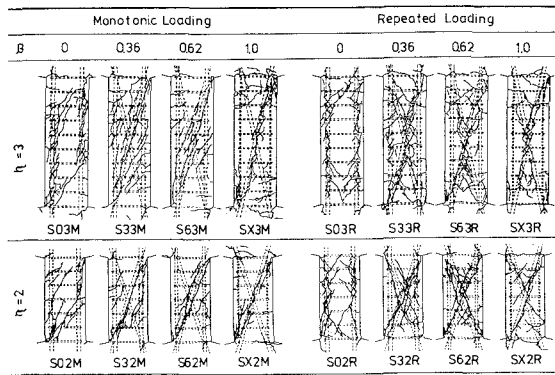


Fig.5 Crack Observation of Columns for Experiment I

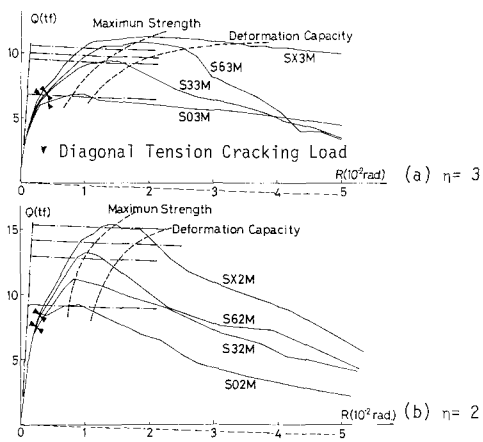


Fig.6 Load-Displacement Response to Monotonic Loading for Experiment I

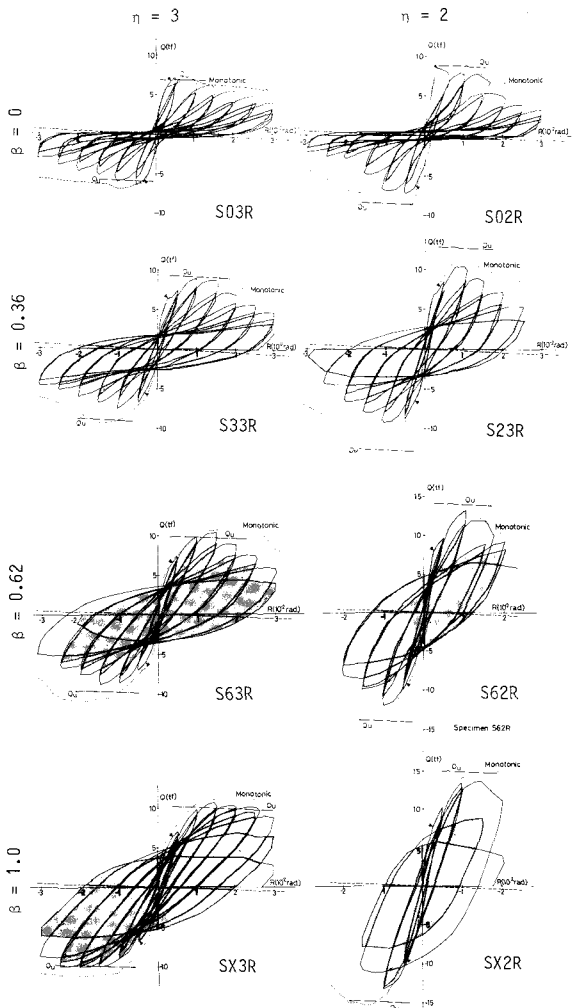


Fig.7 Load-Displacement Response to Cyclic Reversed Loading for Experiment I

支差部のコンクリートにX形時とくり返しによつて压壊あるいは体はく離を生じ、かつ、支差部のX形主筋は局部屈屈が生じた。

6.3 荷重变形曲線 Fig.6 は単調載荷、Fig.7 はくり返し載荷の各試験件の荷重变形曲線を示す。縦軸は作用せん断力を、横軸は部材角を表す。

Fig.6 の2つとも点線は最大強度時の変位量および最大強度を維持できた限界変位量を連結した線を示す。■印は斜張力ひび割れ発生を示す。さらば、8章で述べるせん断強度の理論値と初期剛性を一点鉛錆で示す。斜張力ひび割れ発生までは、 $\beta$ の値によらずほぼ同じ挙動を示し、その剛性は3弹性解と一致する。しかししながら、斜張力ひび割れ後の剛性は $\beta$ の値が大きくなるほど大きくなる。最大強度は $\beta$ の値によらず強度影響をうけ、 $\beta$ の値が大きくなるほど最大強度は増加し、かつ、限界変位量も増加する。Fig.7 の点線は単調載荷の荷重变形曲線を示す。かつ、2回目のかく返しによる荷重曲線は図示部分を薄くねりつぶしてある。また、理論強度を一点鉛錆で示す。単調載荷の場合、性状の年から、 $\beta$ の値が増加するほど荷重曲線は差し年から終鉛錆へ移行するところがわかる。一方、柱長さの短い $\beta=2$ の試験体では $\beta$ を増してもX形主筋の支差部が局部屈屈した際の塑形能力は大きくなりない。

6.4 X形主筋の履歴せん断力 繰返すとさうなRC部材のせん断塑性構構には4種構とアーチ構構がある(9, 10)。X形主筋が併用土工の場合、木にトスス付構が附加され、せん断強度は増加する。このX形主筋が履歴するせん断力とQをX形主筋の端部のひびきの測定値から求め、これを全せん断力Qとの比と縦軸に、部材角と横軸にと左側をFig.8 に示す。単調およびくり返し載荷のいずれの場合にも最大強度時、せん断力強度率は $\beta=1.0 \approx 50\%$ 、 $\beta=0.62 \approx 30\%$ 、 $\beta=0 \approx 20\%$ である。 $\beta=3$ が、大変形時ではX形主筋量

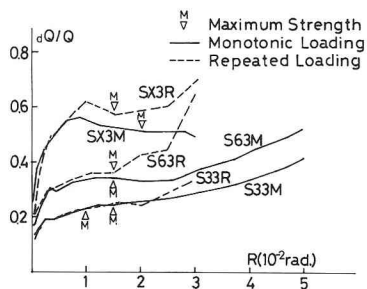


Fig.8 Ratio of Shear Carried by Diagonal Reinforcement to Applied Shear

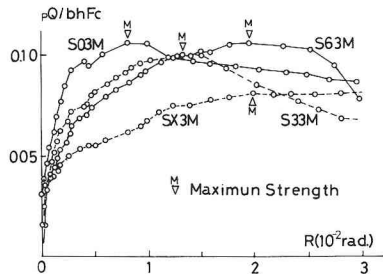


Fig.9 Load Carring Capacity of Reinforced Concrete with Parallel Reinforcement

が多いほど大きなせん断力を負担していることがわかる。一方、Fig.9は $\eta=3$ の单调載荷でX形主筋の負担力を差引いた、平行配筋のRC部材の直担せん断力  $pQ = Q - dQ$  の量の変化の状況を示したものである。 $pQ$  の値にかかわらず、 $pQ$  は一定であることが認められる。すなはち、多量のX形配筋を用いた、せん断強度  $Q_u$  は平行配筋によるRC部材のせん断強度  $pQu$  + X形主筋のせん断強度  $dQu$  の累加によって

$$Q_u = pQu + dQu \quad (5)$$

とみなすことができる。

#### 7 平行配筋とX形配筋を併用した柱材の耐震性

##### 7.1 実験計画

前述の実験工では31張主筋比  $\beta_t$  が  $\beta_t = 1.76\%$ 、実際の建物で用いる最小主筋量は  $\beta_t = 1\%$  の場合について検討した。すなはち、実際の建物で良い用いられる31張主筋比  $\beta_t = 1\%$  程度、帶筋比が  $\varphi_w = 0.3\%$  程度の柱材に48枚X形配筋の効果を調べた。しかし実験工が計画された。実験計画を Fig.10 によると、柱断面は  $30\text{cm} \times 30\text{cm}$

		0	0.2	0.4	0.6
$\beta_t = \frac{dTy}{pTy + dTy}$		0	0.2	0.4	0.6
		40 220 40	40 220 40	40 220 40	40 220 40
		220	220	220	220
		40	40	40	40
Parallel only					
Mixed Use of Parallel and Diagonal					
Parallel	5-D16	4-D16	3-D16	2-D16	3-D16
Diagonal	1-D16	2-D16	L62	L64	
$\varphi_w$	0.21%	L02	L22	L42	
	0.42%	L04	L24	L44	L64
Tension Reinforcement Ratio		$\rho_t = 1.11\%$			
Column Length Ratio		$\eta = l/h = 3$			
Axial Load Ratio		$N/bhF_c = 0.1$			

Fig.10 Variable Chosen for Experiment II

である。実験計画におけるX形主筋比  $\beta_t$  と带筋比  $\varphi_w$  を選ぶ。柱長さ比  $\eta$  は3、作用圧縮荷重の大きさは  $N = 11 - 19$  壓縮強度の10%であった。なお、各々振幅は2回かつくり正弦波漸増変位振幅形のへり式に載荷を行った。

7.2 破壊工一工 Photo 2 は  $\varphi_w = 0.42\%$  の試験体の実験終了後の破壊状況を示す。実験工の場合は同様にX形主筋比が増加するにつれて、せん断耐力を剥離破壊の一端から、X形主筋に沿う若干の斜割れとともに曲げ引張破壊の一端へ進行していく。すなはち、带筋量が少ない試験体のL22では、脆い破壊を生じたが、 $\varphi_w$  の多いL24では脆い破壊を生じなかった。すなはち、平行配筋とX形配筋を併用する場合でも、斜張力の斜割れによってせん断破壊が生じる程度の带筋量を用いるべきである。

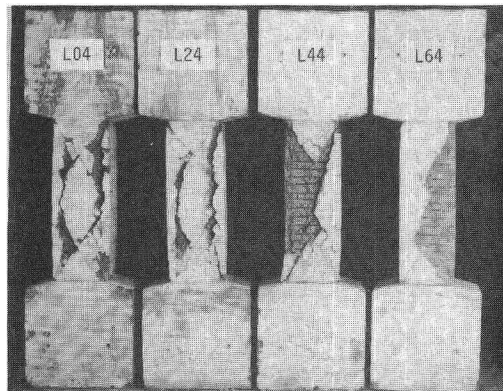


Photo 2 Failure Modes of Diagonally Reinforced Columns under Cyclic Reversed Loading

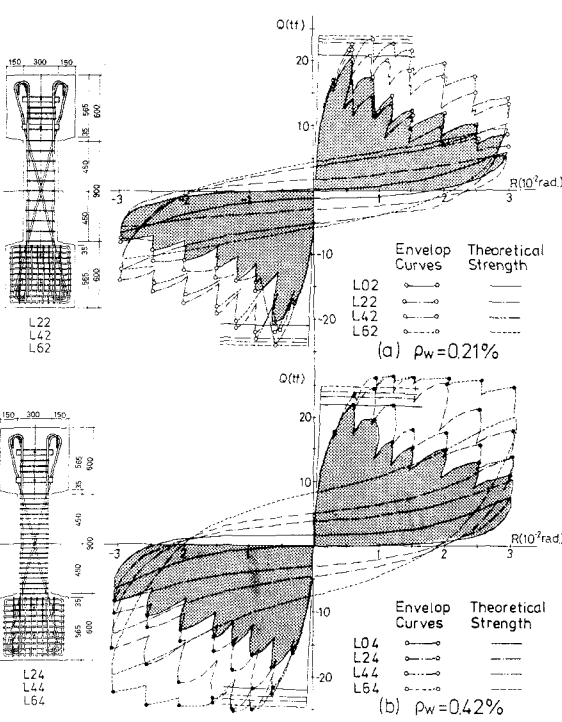


Fig.11 Variation of Envelope Curves with Diagonal Reinforcement Ratio

7.3 積層曲線 各等級振幅における各々の包絡線を Fig.11 示す。左の図には斜材剛性  $\beta = 3\%$  の最終振幅における積層曲線を示してある。最大強度を維持できる塑形能力は  $f_w$  であるが  $\beta$  の値が大きくなるにつれて増加する。

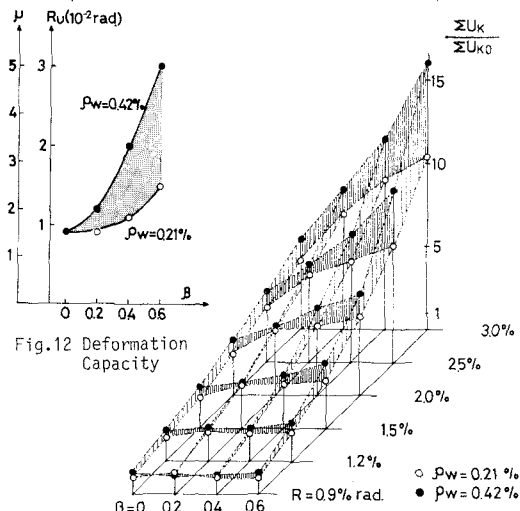


Fig.12 Contribution of Diagonal Reinforcement to Cumulative Energy Dissipation

積層力の劣化域における強度低下率は  $f_w$  および  $\beta$  にかかわらず一定である。左の Fig.12 主筋量が異なるより多少のためか、 $\beta$  の増加による最大強度の増加率は小さくなっている。Fig.12 は最大強度を保持できる部材剛性  $R_0$  と  $\beta$  の関係を示す。経軸は階層斜材剛性  $R_0$  を表すが、小さいせんれん率  $\mu$  を示している。

7.4 積層エネルギー一枚進量 Fig.13 は積層曲線から求めた積層エネルギー一枚進量が  $\beta$  と  $f_w$  の関係は、 $\beta$  の変化により放送を示すものである。経軸は積層エネルギー一枚進量  $\Sigma U_k$  で、試験結果 L02 ( $\beta=0$ ,  $f_w=0.21\%$ ) の  $R=0.9\%$  rad. の半分 + 1.9 rad. の値  $\Sigma U_{k0}$  が無次元化されてある。○印は  $f_w=0.42\%$  の印は  $f_w=0.21\%$  の倍である。荷重振幅の小さい範囲では  $\beta$  によらず積層エネルギー一枚進量は変化せず、が  $f_w$  の影響も小さいしかし、荷重振幅が大きくなると、積層エネルギー一枚進量が増加する。 $\beta \times f_w$  は相乗効果を示すと示し、この因は  $\beta$  が小さいときに X 形斜材柱の耐震性能を効率的に發揮させたいには  $f_w \times \beta = 0.3 \sim 0.4\%$  程度の量は必要と思われる。

7.5 X形主筋の負担せんれん力 Fig.14 は X 形主筋の負担せんれん力とあわせて X 形主筋以外の

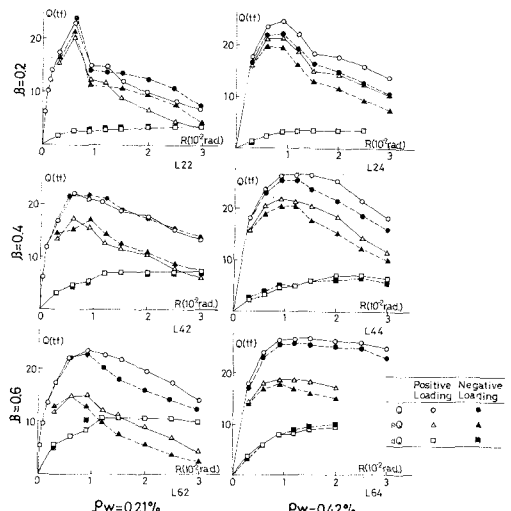


Fig.14 Contribution of Diagonal Reinforcement to Shear Strength

せん断抵抗材構成より屋根土下せん断力  $pQ$  を示す。白印、黒印は正山形と正荷重時、屋荷重時を示す。左柱、丸、四角、三角は正山形と作用せん断力、X形主筋の屋根せん断力、X形主筋以外の部材が屋根下せん断力を示す。X形主筋が屋根下せん断力は、屋高工場の場合と同様に、 $\beta = 0.8$  例として増加し、かつ、 $R = 0.03 \text{ rad}$  の場合抵抗強度あり。毛屋根せん断力は以下となる。

## 8 セン断強度解析

### 8.1 セン断抵抗材構成拡張累加強度理論の適用

Fig.15 は X 形配筋と平行配筋が併用する RC 柱が圧縮力  $N$ 、逆曲率曲率  $M$ 、せん断力  $Q$  を受ける場合のせん断抵抗材構成示す。この抵抗材構成は Fig.1 の抵抗材構成の概念を発展させたものである。通常の平行配筋の RC 柱のせん断抵抗材構成は、主筋、帯筋および  $bb$  の幅をもつコンクリート一部材構成下で 1 つ材構成 ( $b-bb$ ) の幅をもつコンクリート一部材構成で形成される 4 つ材構成の組合せである (9, 10)。さらに、X 形主筋が付加されたト拉斯材構成のせん断抵抗材構成が加わる。これが前述の実験結果とよく示される。したがって、静的許容応力場を満たす 3 つ材構成、4 つ材構成およびト拉斯材構成を下で示す一組の強度 ( $bM, bN, bQ$ ), ( $aM, aN, aQ$ ), ( $dM, dN, dQ$ ) が

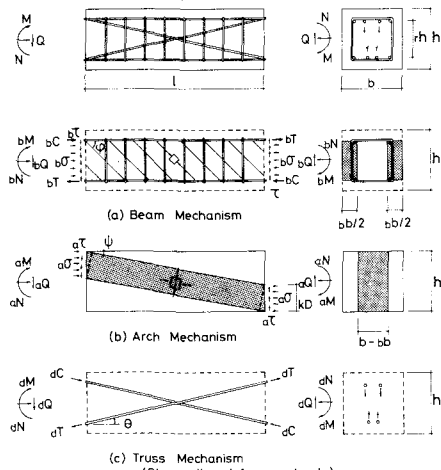


Fig.15 Shear Resistant Mechanism of Diagonally Reinforced Columns under Combined Compression, Bending and Shear

本以降では、柱の強度 ( $M, N, Q$ ) は

$$\begin{aligned} M &= aM + bM + dM = pM + dM \\ N &= aN + bN + dN = pN + dN \\ Q &= aQ + bQ + dQ = pQ + dQ \end{aligned} \quad \left. \right\} \quad (6)$$

とする。また、(6) 式の  $(pM, pN, pQ)$  は平行主筋を含む RC 部分の一組の強度である。左の材端は作用せん断曲率  $\theta$  で示す。せん断力は逆曲率  $\theta$  で示す。

$$\frac{M}{Q} = \frac{aM}{aQ} = \frac{bM}{bQ} = \frac{dM}{dQ} = \frac{\ell}{2} \quad (7)$$

が成立し、抵抗材構成下の強度は圧縮力  $N$  と相應性の度を考慮して求められる。この解析は筆者らが提案した拡張累加強度理論を用いた無次元化圧縮力  $n$  ( $= N/N_{cr,fc}$ ) と無次元化せん断力  $g$  ( $= Q/Q_{cr,fc}$ ) の関係を解析的方程式で導き出した。Fig.16 は拡張累加強度理論の適用の模式図である。PI は平行主筋を含む RC 部分の相應曲線を、DI は X 形主筋のみの相應曲線を、II は平行配筋・X 形配筋を行った RC 柱の相應曲線を示す。左の曲線 I は曲線 II の左側軸の厚点を、曲線 PI 上の移動せん断包絡線を表している。PI と II との相應方程式は式 (9, 11) に示す。一方、DI の相應方程式は X 形主筋の軸軸方向の強度を示す。

$$dg = \pm \tan \theta \cdot dN + 2d\theta \sin \theta \quad (8)$$

ここで  $d\theta$  : X 形主筋の引張筋筋角

の微小変化。

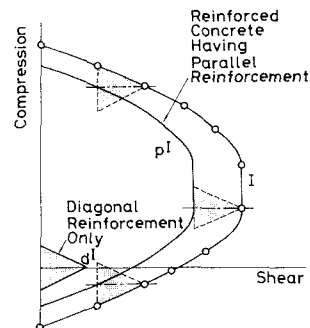


Fig.16 Axial Load-Shear Interaction Curves Based on Extended Strength Superposing Method

## 8.2 n-各根用方程式 上述の方法によつて求め 階級化せしに必要な帶筋係数。

△かた X形配筋と平行配筋を併用する RC柱をせん断強度の理論解は次式で表すことができる。ただし、よりも小さい場合は成り立つ。せん断が増加するにつれてこの方程式は带筋係数が平行配筋を特徴とする場合と同様に変化する。

$$(a) n_0 \leq n \leq n_1 \quad g = \sqrt{4(n+2p\bar{\eta})^2 + 2d\bar{\eta} \cos\theta} (1-n-2p\bar{\eta}-2d\bar{\eta} \cos\theta) + \eta^2 - \eta + 1/2 \quad (10)$$

$$(b) n_1 \leq n < n_2 \quad g = \tan\theta \{ (n+2p\bar{\eta})^2 + 2d\bar{\eta} \cos\theta \} + \gamma \sin\theta - 1/2 + \gamma \cos\theta - \eta/2 \quad (11)$$

$$(c) n_2 \leq n < n_3 \quad g = \sqrt{4(n+2p\bar{\eta})^2 (1-n-2p\bar{\eta}) + \eta^2 - \eta^2/2 + 2d\bar{\eta} \sin\theta} \quad (12)$$

$$(d) n_3 \leq n < n_4 \quad g = \lambda_1(n-n_3) + g_3 + 2d\bar{\eta} \sin\theta \quad (13)$$

$$(e) n_4 \leq n < n_5 \quad g = \delta \{ \sqrt{4\pi\alpha(1-n)} + \eta^2 - \eta \} + \frac{2}{\pi} \cdot r\bar{\eta}_1 + 2d\bar{\eta} \sin\theta \quad (14)$$

$$(f) n_5 \leq n < n_6 \quad g = \delta (\sqrt{1+\eta^2} - \eta) + \frac{2}{\pi} \cdot r\bar{\eta}_1 + 2d\bar{\eta} \sin\theta \quad (15)$$

$$(g) n_6 \leq n < n_7 \quad g = \delta \{ \sqrt{4n_6(1-n_6)} + \eta^2 - \eta \} + \frac{2}{\pi} \cdot r\bar{\eta}_1 + 2d\bar{\eta} \sin\theta \quad (16)$$

$$(h) n_7 \leq n < n_8 \quad g = \lambda_2(n-n_7) + g_8 + 2d\bar{\eta} \sin\theta \quad (17)$$

$$(i) n_8 \leq n < n_9 \quad g = \sqrt{4(n-2p\bar{\eta})(1-n+2p\bar{\eta}) + \eta^2 - \eta^2/2 + 2d\bar{\eta} \sin\theta} \quad (18)$$

$$(j) n_9 \leq n < n_{10} \quad g = -\tan\theta \{ (n-2p\bar{\eta}) - 2d\bar{\eta} \cos\theta \} - \gamma \sin\theta - 1/2 - \gamma + \gamma \cos\theta - \eta/2 \quad (19)$$

$$(k) n_{10} \leq n \leq n_{11} \quad g = \sqrt{4(n-2p\bar{\eta})^2 - 2d\bar{\eta} \cos\theta} (1-n+2p\bar{\eta} + 2d\bar{\eta} \cos\theta) + \eta^2 - \eta + 1/2 \quad (20)$$

$$\begin{aligned} n_0 &= -2p\bar{\eta} - 2d\bar{\eta} \cos\theta \\ n_1 &= 1/2 - \gamma \sin\theta - 2p\bar{\eta} - 2d\bar{\eta} \cos\theta \\ n_2 &= 1/2 - \gamma \sin\theta - 2p\bar{\eta} \\ n_3 &= \beta_1 \cdot \gamma - \sqrt{(\beta_1 \cdot \gamma)^2 - w_1 \cdot \gamma} \cdot \gamma / w_1 + (1-4p\bar{\eta})/2 \\ n_4 &= 2\delta(n_3 + 2p\bar{\eta}) - 2p\bar{\eta} + \frac{2}{\pi} \cdot r\bar{\eta}_1 + \eta \\ n_5 &= \delta - 2p\bar{\eta} + \frac{2}{\pi} \cdot r\bar{\eta}_1 + \eta \\ n_6 &= \delta + 2p\bar{\eta} + \frac{2}{\pi} \cdot r\bar{\eta}_1 + \eta \\ n_7 &= 2\delta(n_8 - 2p\bar{\eta}) + 2p\bar{\eta} + \frac{2}{\pi} \cdot r\bar{\eta}_1 + \eta \\ n_8 &= \beta_2 \cdot \gamma + \sqrt{(\beta_2 \cdot \gamma)^2 - w_2 \cdot \gamma} \cdot \gamma / w_2 + (1+4p\bar{\eta})/2 \\ n_9 &= 1/2 + \gamma \sin\theta + 2p\bar{\eta} \\ n_{10} &= 1/2 + \gamma \sin\theta + 2p\bar{\eta} + 2d\bar{\eta} \cos\theta \\ n_{11} &= 1 + 2p\bar{\eta} + 2d\bar{\eta} \cos\theta \\ \beta_3 &= \{ \alpha \cdot \gamma + \sqrt{(\alpha \cdot \gamma)^2 - w_1 \cdot \gamma} \} \gamma / w_1 - \eta/2 \\ \beta_8 &= \{ \alpha \cdot \gamma + \sqrt{(\alpha \cdot \gamma)^2 - w_2 \cdot \gamma} \} \gamma / w_2 - \eta/2 \end{aligned}$$

## 8.3 実験値と解析値の比較 Fig.17 は前述の実験値と解析値とを比較したものである。純粋角柱無

拘束化耐震力れんし、横軸は無拘束化せん断力  $Q/bhF_c$

●印は正荷重時の実験値を示す。前玉工場

実験工場の24体、全試験体の実験値と解

析値との比は  $0.80 \sim 1.10$  の範囲で取扱い

値は  $0.98$  で、両者ほぼ一致している。

△かた X形配筋と平行配筋を併用する RC柱をせん

断強度は、前玉工場の理論解とほぼ評価できること

となる。Fig.17 における31基土筋量と帶筋量と一

致した場合、 $\beta$ の値が増加するにしたがって、

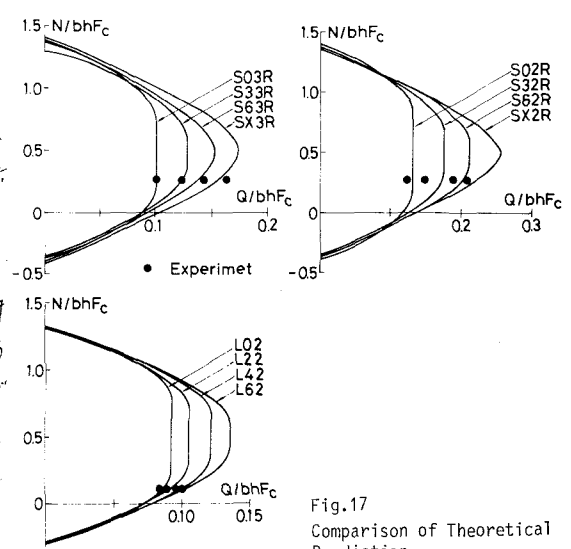


Fig.17  
Comparison of Theoretical  
Prediction  
with Experimental Results

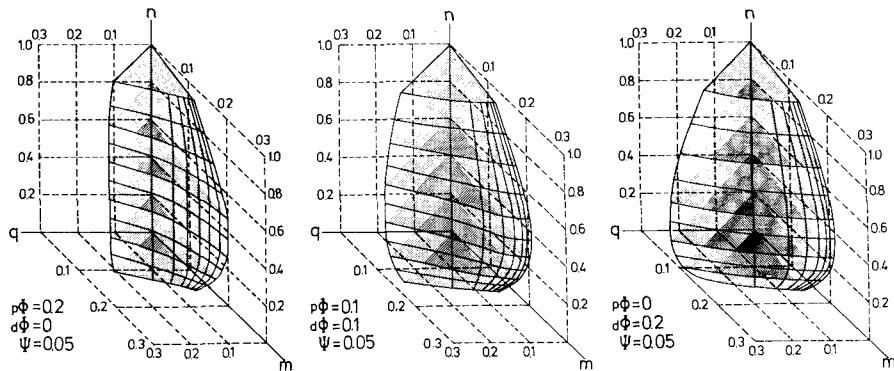


Fig.18  
n-m-q Failure  
Interaction  
Surface of  
Diagonally  
Reinforced Columns

せん断強度が増加し、せん断破壊率から曲げ破壊率の相対的構成比が移行する：これがわかる。 $\beta$ の値と差による強度の差は伝達力が零（はく離の場合）より大きい方が高伝達力が作用する場合より差が大きくなる：これがわかる。

2. RC部材にX形主筋を用いた割点強度を調べた結果では、せん断せんれん材がある。すなわち、Fig.18 は、 $p_{\text{重}} + p_{\text{引}} = 0.2$ ,  $\Psi = 0.05$ ,  $r_{\text{hi}} = 0.8$  の X 形配筋柱、 $n-m-q$  破壊相関曲面を示したものである。この図からも、X形主筋量が増加するにつれてせん断破壊率の破壊地図が移行し、X形主筋がせん断強度を増加に効果があることが分る。

## 9 X形配筋柱の実用設計式

X形配筋と平行配筋を併用した柱材の設計式は日本建築学会の RC 構造工法規則で「柱」まで、累加強度式(5)が成立するものにて、算定には实用設計式を採用した。すなわち、固定、積載荷重に対する X 形主筋を無視して部材設計を行ない、地盤荷重に対する X 形主筋を考慮した。かつて、X形配筋柱の短期許容せん断力  $Q_a$  は、RC構造工法による平行配筋の RC 部分の短期許容せん断力 = X形主筋の短期許容せん断力の和であることを示す。

$$Q_a = b_j [f_s + 0.5 w_{ft} (p_w - 0.002)] + 2 a_{ft} \cdot a_{ft} \sin \theta \quad (21)$$

$b_j$  :  $a_{ft}$  : X形主筋の引張主筋量

$a_{ft}$  : X形主筋の短期許容引張応力度

$\theta$  : X形主筋と軸の至角角度

## 10 X形配筋柱の実施例

10.1 X形配筋柱の実物設計概要 Photo 1(a) の 5階建の集合住宅は 1982 年に大阪市内に建設されたもので、これが最初の X形配筋柱を用いた連続柱である。この連続柱 1, 2 層の主筋構造の配筋詳細を Fig.19 に示す。この連筋柱は 8 メートルセクション比が大きく曲げ破壊率が低めに付し、柱は長さとセクション比が 3.1 ~ 3.3 でせん断破壊生じやすくなる。X形配筋柱は 9 メートル間隔で柱の前面構成は四隅の主筋のみを平行配筋する。その他、必要主筋は全て X形配筋でせん断強度を増加に効果があることが分かる。すなわち、この連筋柱はスパン方向

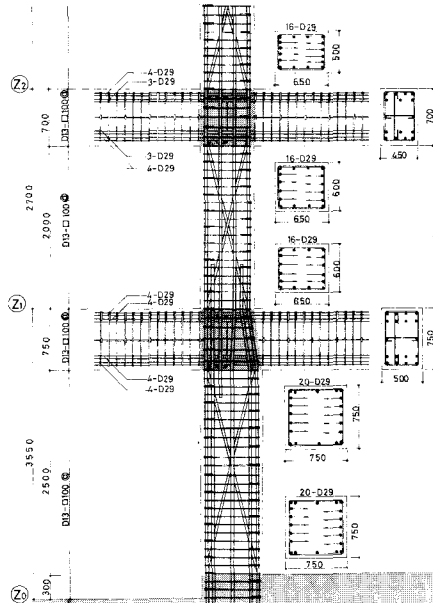


Fig.19 Suggested Reinforcing Arrangement in Diagonally Reinforced Columns

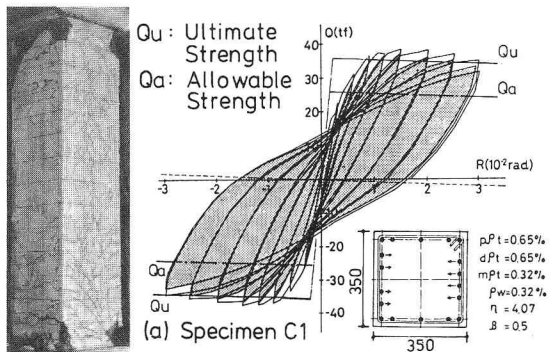


Fig.20 Hysteretic Response of Diagonally reinforced Columns Based on Proposed Design Procedures  
柱が十分な配筋をもつべき。 $X$ 形配筋は行  
は行方の付いた。  
10.2 破壊実験 この実験は9章の実用設計式<sup>(1)</sup>  
より設計されたが、この設計式の合理性を確認  
するため、この実験の1/4および2/4の柱の  
モデルによる柱の実験、および1/4モデルによる  
柱に含む骨組の実験を行った。Fig.20は1/4の  
柱の破壊状況と履歴曲線を示す。図中のQaは短  
期許强度と剪力、Quは8章で述べた理論強度であ  
る。

10.2 破壊実験 この実験は9章の実用設計式<sup>(1)</sup>  
より設計されたが、この設計式の合理性を確認  
するため、この実験の1/4および2/4の柱の  
モデルによる柱の実験、および1/4モデルによる  
柱に含む骨組の実験を行った。Fig.20は1/4の  
柱の破壊状況と履歴曲線を示す。図中のQaは短  
期許强度と剪力、Quは8章で述べた理論強度であ  
る。

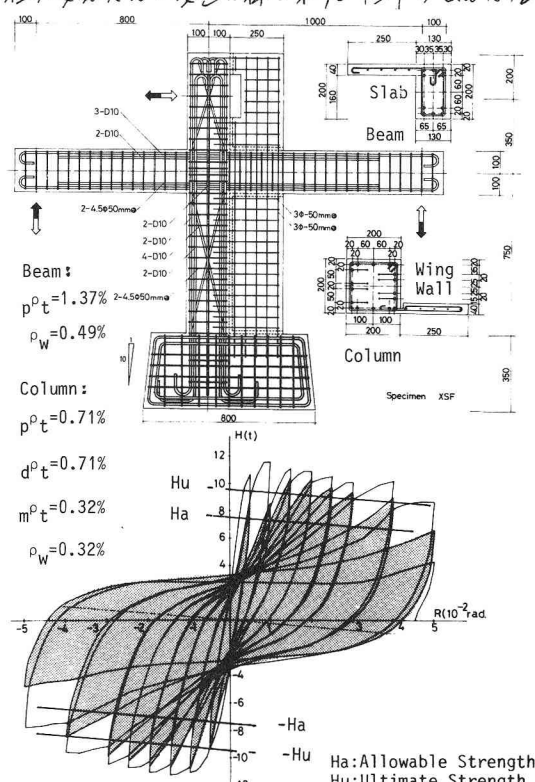


Fig.21 Hysteretic Response of Frame with Diagonally Reinforced Column

期許强度と剪力、Quは8章で述べた理論強度であ  
る。Fig.21は骨組の形状寸法(実験試験体は正  
方形が該当するべき)と履歴曲線を示す。図中の  
Haは短期設計荷重、Huは終局荷重を表す。こ  
れらのモデル実験では、"S"字の場合でもせん断破  
壊は生じず、提案のX形配筋式を設計した結果お  
よび骨組の履歴曲線はエネルギー散逸量の大きさ  
安定した経緯形を示す。かつて、この終局荷重は前  
述の理論強度によって評価されることが示された。  
11. 小型壁柱は短柱へのX形配筋を適用  
新耐震設計でRC構造で特に問題となるのは、  
た小壁柱、障壁柱等は、短柱化した柱の設計が  
ある。このようす短柱にX形配筋を適用した場合  
の実験結果の一例をFig.22に示す。絶対せん断力  
を、横軸は柱長さ100cmに対する部材角を表す。  
図(a)は全平行筋柱、(b)は50%のX形  
主筋をもつ場合である。また、X形主筋の折り曲  
げ位置は壁柱の破壊モードであり、部材角10cm内側に  
該当するべき。Qu1は柱長さ100cmの場合  
の、Qu2は柱長さ60cmの場合のせん断強度  
の理論強度を示す。この通りに示すところ、全平  
行筋柱の場合は、

新耐震設計でRC構造で特に問題となるのは、  
た小壁柱、障壁柱等は、短柱化した柱の設計が  
ある。このようす短柱にX形配筋を適用した場合  
の実験結果の一例をFig.22に示す。絶対せん断力  
を、横軸は柱長さ100cmに対する部材角を表す。  
図(a)は全平行筋柱、(b)は50%のX形  
主筋をもつ場合である。また、X形主筋の折り曲  
げ位置は壁柱の破壊モードであり、部材角10cm内側に  
該当するべき。Qu1は柱長さ100cmの場合  
の、Qu2は柱長さ60cmの場合のせん断強度  
の理論強度を示す。この通りに示すところ、全平  
行筋柱の場合は、

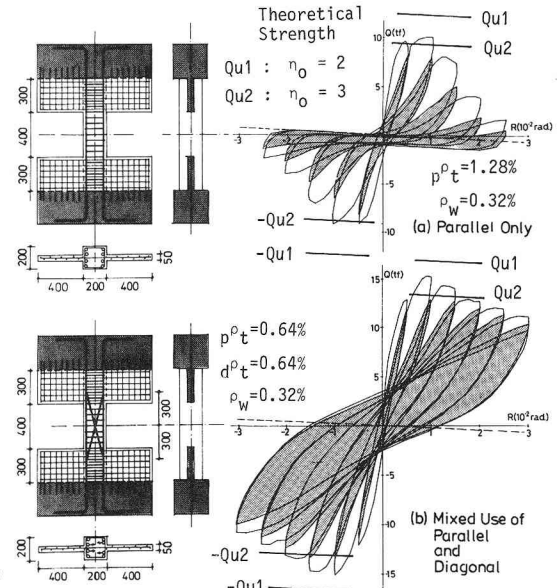


Fig.22 Application of Diagonal Reinforcement to Short Columns with Spandrel Beams

筋量の 50% を X 形主筋とする「半 X 形」、平行副筋を用いたものと比べて飛躍的に耐震性能を向上させた：これが「中力筋」（中力筋）である。柱中壁、腰壁は補強スリットを設けた「合理化耐震設計法」が実用化され、柱材は X 形配筋を適用し、柱、柱中壁、腰壁を強度・剛性・一体化した：これは合理的な耐震設計法であると言える。

12 結論

X形腕筋と平行腕筋を併用した尺側旋の筋群は  
筋起：胸骨と肩峰よりX形腕筋と平行腕筋の対応筋で  
確認。肩峰より次の筋線を引いた。

- (1) X形腕筋を併用したRC柱では、X形生筋の量が増加するにしたがって破壊モードはせん断破壊モードから油圧破壊モードへ移行し、鋼壁内鉄骨は逆らX形からY形へ移行する。

(2) X形生筋量を増すにしたがってせん断強度は増加し、平行生筋とX形生筋を併用した柱材のせん断強度は平行配筋柱とRC部材より也ん断強度と、X形生筋柱に対するせん断強度の累加によつて5%減少する。

(3) 全生筋量のほぼ60%をX形生筋とした柱材の耐震性能は、100% X形生筋とした柱材の耐震性能よりも差しく、全生筋量の60%をX形生筋とするとX形腕筋の効果は十分に發揮される。

(4) X形腕筋柱のX形能力はX形生筋の局部屈屈によつて著しい影響を受けず、耐震性能をさらに向上させたものは、X形生筋の局部屈屈を遮断させた手造工法を用いたことがX形能力の原因である。

(5) RC部材にX形腕筋を用いることはせん断強度の增加には、柱材半径をもつた柱材の方が大きい。

(6) X形腕筋をたな壁、腰壁等で併設する短柱は適用しない。その短柱の耐震性能を飛躍的に向上させることは可能である。

### 13 參考文獻

- (1) Paulay, T., "Simulated Seismic Loading of Spandrel Beams," Journal of the Structural Division, ASCE, Vol.97, No. ST9, September 1971, pp.2407-2419.
  - (2) Paulay, T., "Some Seismic Aspect of Coupled Shear Walls," Proceedings of the 5th WCEE, Rome, Vol.2, 1974, pp.2005-2008.
  - (3) Paulay, T. and Binney, J.R., "Diagonally Reinforced Coupling Beams of Shear Walls," Shear in Reinforced Concrete, ACI Special Publication 42, ACI, Detroit, 1974, pp.579-598.
  - (4) Minami, K. ,and Wakabayashi, M., "Seismic Resistance of Diagonally Reinforced Concrete Columns,"Proceedings of the 7th WCEE, Istanbul, Vol.6, 1980,pp.215-222.
  - (5) Minami, K. and Wakabayashi, M., "Earthquake Resistant Capacity of Normally and Diagonally Reinforced Concrete Columns." Proceedings of 3rd South Pacific Regional Conference on Earthquake Engineering, The New Zealand National Society for Earthquake Engineering, May, 1983.
  - (6) 若林美, 霧谷一, "X形配筋柱の鋼筋コンクリート柱の耐震性能試験,"第2回日本木造・竹造・藤造建築論文集, 1980, pp.433-436.
  - (7) 若林美, 霧谷一, 松本義和, 吉内豊昌, "セメントを主とする鉄筋コンクリート柱のX形配筋の有効性,"第3回日本木造・竹造・藤造建築論文集, 1981, pp.445-448.
  - (8) 霧谷一, 若林美, "X形配筋柱の鋼筋コンクリート柱の耐震設計,"第4回日本木造・竹造・藤造建築論文集, 1982, pp.389-392.
  - (9) Minami, K. and Wakabayashi, M,"Rational Analysis of Shear in Reinforced Concrete columns," IABSE Colloquium on Advanced Mechanics of Reinforced Concrete, Delft, Final Report, 1981, pp.603-614.
  - (10) Minami, K., "Limit Analysis of Shear in Reinforced Concrete Members," Proceedings of JCI Colloquium on Shear Analysis of RC Structures, Introductory Report, Sept., 1983, pp.5-28.
  - (11) 霧谷一, 若林美, "X形配筋柱の耐震性能試験," 第2回日本木造・竹造・藤造建築論文集, 1980, pp.449-452

14 記号

- |   |   |
|---|---|
| b : 柱幅                                    | 兀 : 柱長比 ( $\ell/b$ )  |
| F <sub>c</sub> : コンクリートの圧縮強度              | Φ : X形ラーメンの材質強度   |
| ε : 柱也                                    | d <sub>fl</sub> : X形多筋の引張筋筋脚比   |
| r <sub>h</sub> : 平行主筋の初期曲率, X<br>形主筋の初期曲率 | p <sub>ft</sub> : 平行主筋の引張筋筋脚比   |
| r <sub>h1</sub> : 初筋曲率比 ( $r_h/h$ )       | p <sub>w</sub> : 帯筋比  |
| ℓ : 柱長                                    | d <sub>6y</sub> : X形主筋の降伏強度   |
| M : $M_b = \pi \times r^2 \times t$       | p <sub>6y</sub> : 平行主筋の降伏強度   |
| m : 熱流化熱量 $(M/bh^2\tau_c)$                | w <sub>6y</sub> : 帶筋の降伏強度   |
| N : 正縮力                                   | d <sub>重</sub> : X形ラーメンの引張筋筋脚倍率<br>(d <sub>fl</sub> + d <sub>6y</sub> /F <sub>c</sub> ) |
| n : 热流化正縮量 ( $\nu/bhF_c$ )                | p <sub>重</sub> : 平行主筋の引張筋筋脚倍率   |
| Q : セル割力                                  | (p <sub>ft</sub> + p <sub>6y</sub> /F <sub>c</sub> )                                    |
| g : 热流化セル割力 ( $Q/bhF_c$ )                 | w <sub>重</sub> : 帶筋倍率 ( $p_w w_{6y}/F_c$ )  |

15. 銀子

本研究の一節は、昭和55年、56年度特許研究補助金（試験馬研究所）(1)、平行面筋節×X形筋節を導入した鉄筋コンクリート橋脚の構造性能(2)、電子式馬場の研究、石井式充填物(若林等)。(研究費試験馬研究所585024)における行進歩幅を測る。X形筋筋節の実施例：陰山川、小鹿限降台川(御市佐佐木整備公团)、中里達男氏(株式会社エヌアス)の研究力をもつた。まれに端川(金澤市)と馬場町(あらべ)、南野川(川口市)は、久木章雄(川崎造船所)、吉内晴昌(川崎造船所技術研究所)の研究力で御意力ももつた。ここに記述する洋基の御意もおもいます。

## Diagonal Reinforcing for Reinforced Concrete Columns

Koichi MINAMI(I) and Minoru WAKABAYASHI(II)

The use of diagonal reinforcement has been proposed by T. Paulay to secure the ductility of coupling beams, and applied to the real practice. However, the past earthquakes have revealed that the shear failure occurred more often in short columns than in beams. Since the column failure leads to the failure of the overall structure, the authors have been trying to apply the diagonal reinforcement system to the short reinforced concrete columns.

The diagonal arrangement of main reinforcements is desirable, suited and easily applied in concrete structures that have shear walls in one direction, such as school buildings and houses. In real building structures, the inflection point of columns can seldom be located in the middle of the columns, and it is conceived that combined parallel and diagonal reinforcement will improve seismic performance greatly.

To investigate the seismic behavior of diagonally reinforced columns, two series of tests were programmed using scaled model specimens. In the first series, the scale ratio of the specimens was 1/4, and, in the second series, the ratio was 1/2. Variables chosen for experiments are diagonal reinforcement ratio  $\beta = dTy/(pTy + dTy)$  ( $dTy$  = yield strength of diagonal reinforcement,  $pTy$  = yield strength of parallel reinforcement), column length ratio  $l/h$  ( $l$  = column length,  $h$  = column depth) and axial load ratio  $N/Nu$  ( $N$  = applied axial load,  $Nu$  = ultimate compressive strength).

The load carrying capacity, ductility and energy dissipation capacity of columns increases with increase of the diagonal reinforcement ratio without adding extra amount of hoops. It is noted that satisfactory seismic performance can be expected when the diagonal reinforcement ratio may be greater than 60 percent. Using a simple model of statical equilibrium of concrete and system of reinforcements, the strength of diagonally reinforced columns is calculated by the extended concept of adding component strengths of concrete and parallel and diagonal reinforcements. The strength can be reasonably estimated as the sum of the strength of the column without diagonal reinforcement and the strength of the diagonal reinforcement. Use of diagonal reinforcement is more effective in columns than in beams as far as the strength is concerned. The deformation capacity of diagonally reinforced columns depends largely upon the buckling of diagonal reinforcing bars. For better seismic performance, it is needed to develop a new means to retard the buckling.

Based on the suggested design procedure for diagonally reinforced concrete columns proposed by authors, five story housing containing diagonally columns was constructed at Osaka in 1981. In order to verify that the above design procedure is appropriate, half scaled model test was made for a first and second story column. Finally, the example of the application of diagonal reinforcement to the short columns with spandrel beams are discussed.

- 
- (I) Lecture of Department of Architectural Engineering, Osaka Institute of Technology, Osaka, Japan  
(II) Professor of Disaster Prevention Research Institute, Kyoto University, Kyoto, Japan